

تأثیر روش ساخت و متغیرهای آن بر ترکیب فازی، ریزساختار و خواص سرمتهای آلومینیم-آلومینا*

لیلا فاضلی^(۱) مهدی کلانتر^(۲) مسعود مشرفی‌فر^(۳)

چکیده

سرمتهای مواد مرکب زمینه سرامیکی هستند که به دلیل حضور فاز دوم فلزی، افزون بر خواص و مزایای یک سرامیک، دارای چقرمگی و مقاومت به شوک حرارتی نیز می‌باشند. سرمتهای پایه آلومینا، به دلیل پایداری حرارتی و شیمیایی و مقاومت به سایش بالا، گسترش بیش‌تری یافته‌اند. در این تحقیق، تأثیر متغیرهای فرایند ساخت سرمتهای آلومینیم-آلومینا به دو روش درجا و متالورژی پودر (با استفاده از محیط معمولی با لایه‌ی محافظ از گک و آلومینا) بر ریزساختار (به کمک SEM)، ترکیب فازی (با آزمون XRD) و خواصی مانند سختی، استحکام، چقرمگی و چگالی نسبی ارزیابی شده است. از روش DTA برای بررسی نقش محیط و دما بر پدیده‌ی اکسایش و تغییرات فازی در اکسید آلومینیم استفاده شد. نتایج بررسی‌های DTA نشان دادند که در سرمتهای 30%Al-Al₂O₃ و در دمای بالاتر از ۵۰۰°C، پیک‌های گرمازا مربوط به اکسایش و در دمای ۱۱۰۰°C پیک گرماگیر مربوط به تبلور اکسید آلومینیم بی‌شکل که با اکسایش آلومینیم شکل گرفته است، ظاهر می‌شود. نتایج آزمون XRD نشان دادند که پیک‌های مربوط به فاز فلزی آلومینیم در نمونه‌های تف‌جوشی شده با استفاده از لایه‌ی محافظ، کمی ضعیف‌تر از این پیک‌ها در شرایط استفاده از محیط آرگون می‌باشند. نتایج مربوط به اندازه‌گیری خواص و مطالعات ریزساختاری نشان دادند که بهترین خواص مربوط به نمونه‌های سرمتهای تهیه شده به روش درجا می‌باشد. برای نمونه‌های متالورژی پودر، بهترین شرایط ساخت در دمای تف‌جوشی ۱۵۰۰-۱۵۵۰°C و با استفاده از ۲۰ درصد فاز فلزی به دست آمد.

واژه‌های کلیدی سرمتهای پایه آلومینا، آلومینیم، تف‌جوشی، خواص مکانیکی، ریزساختار.

Effects of Fabrication Parameters on Phase Composition, Densification and Mechanical Properties of Aluminum-Alumina Cermets

L. Phazeli M. Kalantar M. Moshrefifar

Abstract

As a high temperature structural ceramic, cermets exhibit less brittleness than ceramic-ceramic composites or monolithic ceramics owing to the presence of a ductile metal second phase in their microstructure. These cermets can, therefore, be used in applications where the abrasive, creep and thermo-mechanical resistance are required. In the present study, aluminum-alumina cermets with different amounts of aluminum were fabricated at different heat treatment temperatures. In order to evaluate the optimum manufacturing conditions, specimens with different aluminum contents were subjected to DTA and TGA analyses. In addition, microscopic observations, phase analyses, and toughness, strength and hardness measurements were performed using SEM, XRD, three-point bending testing and Vickers hardness testing methods, respectively. The results of DTA and XRD analyses showed that for the oxidizing atmosphere and high amounts of aluminum, there is an exothermic peak corresponding to the oxidation of aluminum and an endothermic peak corresponding to the phase transformation of Al₂O₃. Higher amounts of aluminum in starting materials caused an increase in the density and toughness, and a decrease in the hardness of the cermet specimens sintered at 1550°C, however, their strength increased when up to 20% aluminum was added. In addition, for the case of 30%Al-Al₂O₃ cermet, the strength and density increased as the temperature increased up to 1500 °C, while the toughness increased up to 1550 °C. The oxidation of aluminum phase was also found to be of great importance, hence, it was concluded that the optimized properties may only be obtained using an argon atmosphere.

Key Words Alumina-based cermets, Aluminum, Sintering, Mechanical Properties, Microstructure.

* نسخه‌ی نخست مقاله در تاریخ ۹۱/۱/۱۴ و نسخه‌ی پایانی آن در تاریخ ۹۱/۱۲/۱۶ به دفتر نشریه رسیده است.

(۱) دانشجوی کارشناسی ارشد، دانشکده مهندسی معدن و متالورژی، دانشگاه یزد

(۲) نویسنده‌ی مسئول: دانشیار، دانشکده مهندسی معدن و متالورژی، دانشگاه یزد

(۳) مربی، دانشکده مهندسی معدن و متالورژی، دانشگاه یزد

مقدمه

سایش و پایداری شیمیایی خوب، کاربرد زیادی می‌تواند داشته باشد، اما شکنندگی کاربرد آن را محدود کرده است. برای افزایش کاربرد آن، به‌خصوص در کاربردهای دینامیکی، فلزاتی چون کُرْم [8-2]، آلومینیم [9-15]، آهن [8,16,17]، تیتانیم [18]، نیکل [8,19,23]، مولیبدن [1]، تنگستن [23]، سرب [24] و مس [25] به‌عنوان فاز دوّم به آن اضافه می‌شود. قابل ذکر است که کارهای تحقیقاتی خوبی در این زمینه انجام گرفته است. از مهم‌ترین فرایندهای ساخت سرامت‌های پایه آلومینا، می‌توان به فرایندهایی هم‌چون متالورژی پودر [4,6,7]، سنتز احتراقی [2,3,16,18] یا تف‌جوشی واکنشی [8]، پرس گرم [2,20]، نفوذدهی محلول‌های نمک فلز یا مذاب فلز درون نمونه‌ی پیش‌ساخته‌ی سرامیکی [10,11,12,19]، پوشش‌دهی شیمیایی فاز بخار (CVD) [23]، سُل ژل [24] و روش درجا [9]، اشاره کرد. انتخاب روش ساخت سرامت به هزینه‌های مربوط به مواد اولیه و فرایند، سهولت یا پیچیدگی و تعداد مراحل فرایند بستگی دارد. به‌عنوان مثال، برای ساخت سرامت Al_2O_3-Ni یا Al_2O_3-Fe ، مخلوط دو اکسید آلومینیم و نیکل یا اکسید آلومینیم و آهن درون محیط هیدروژن احیا می‌شود، به گونه‌ای که فازهای فلزی نیکل و آهن ایجاد می‌شوند [21]. برای ایجاد یک مخلوط همگن پودری در روش متالورژی پودر، افزون بر روش‌های مکانیکی از روش‌های شیمیایی نیز کمک گرفته می‌شود. به‌عنوان مثال، پودر آلومینا درون محلول نیترات فلز مورد نظر (آهن یا نیکل) وارد می‌شود تا پوششی از اکسید یا هیدرواکسید فلز مورد نظر بر روی سطح درات آلومینا تشکیل شود [22]. برای ساخت سرامت‌های دو فلزی که مخلوط کردن در آن اهمیت زیادی دارد، می‌توان از روش شیمی تر و رسوب هم‌زمان اکسیدها استفاده کرد. در روش سُل ژل، با انحلال ترکیبات آلی-فلز مانند آلکوکسید آلومینیم و آلکوکسید فلز مورد نظر در یک حلال مناسب نظیر الکل اتیلیک یا متانول، یک محلول شفاف در دمای حدود $50^\circ C$ تا $70^\circ C$ تهیه می‌شود که با تبخیر تدریجی آن در حضور یک عامل پلی‌مر

سرامت‌ها با زمینه‌ی سرامیکی و فاز دوّم فلزی، افزون بر بهره جستن از خواص و مزایای یک سرامیک، مانند مقاومت به سایش و خزش و استحکام ترمومکانیکی، دارای چقرمگی، مقاومت به ضربه، استحکام کششی، مقاومت به ارتعاش و مقاومت در برابر شوک حرارتی نسبتاً بالایی هستند. به‌این ترتیب، سرامت‌ها جایگاه نسبتاً خوبی در کاربردهای دینامیکی و کاربردهایی که نیاز به تحمل در برابر شوک حرارتی و نیروی مکانیکی دارند، یافته‌اند. از جمله موارد کاربرد سرامت‌ها می‌توان به قطعات سازه‌ای در موتورهای جت و سیستم‌های هوا و فضا، مبدل‌های حرارتی، مشعل‌ها، عایق‌ها و سپرهای حرارتی، بیومواد، ابزارهای برشی، قالب‌های کشش سیم و لایه‌های سطحی مقاوم به سایش و یا مقاوم به حرارت بر روی فولادها و آلیاژهای دیگر، اشاره کرد. در بعضی از موارد، سرامت‌ها کاربرد خاصی در زمینه‌های الکتریکی، مغناطیسی، مهندسی پزشکی و حرارتی دارند. به‌عنوان مثال می‌توان به مواردی چون نیمه هادی‌ها، انواع الکترودها در فرایندهای الکترولیز، پیل‌های سوختنی و انواع باتری‌های ویژه و حس‌گرها اشاره کرد. فاز فلزی به‌دلیل پلاستیسیته و مقاومت برشی بالا، رشد ترک را مهار و کنترل می‌کند، و این افزایش مقاومت به رشد ترک و افزایش چقرمگی را به‌دنبال دارد [1]. البته، شرط رخ دادن چنین پدیده‌ای بالاتر بودن استحکام پیوند بین فلز و سرامیک نسبت به استحکام تسلیم فلز می‌باشد. اگر دانه‌های فاز فلزی ریزتر باشد، عدم تطابق حرارتی آن با سرامیک کم‌تر بوده و احتمال شکل‌گیری ریزترک‌ها در فصل مشترک کم‌تر خواهد بود. اگر فاز فلزی پیوسته باشد، کاربرد سرامت در دماهای بالا به‌دلیل چقرمگی و رسانایی بالاتر، افزایش می‌یابد. در سرامت‌ها، فاز سرامیکی با ضریب انبساط حرارتی کم دارای مقاومت در برابر حرارت و سایش است، و فاز فلزی نقش بهبود رسانایی حرارتی و الکتریکی و خواص مکانیکی، مانند مقاومت به ضربه و چقرمگی، را دارد. آلومینا به‌دلیل خاصیت دیرگدازی، مقاومت به

رنگ با لایه‌ی مغزی آلومینیم به دست آمد. در مرحله‌ی بعد، فرایندهای مخلوط‌سازی به نسبت ۷۰ درصد پودر تاب‌کاری شده و ۳۰ درصد پودر آلومینیم، پرس‌کاری و تف‌جوشی در محیط معمولی با لایه‌های محافظ از گُک و آلومینا در دمای °C ۱۵۵۰ انجام شدند. برای تعیین دمای شروع اکسایش آلومینیم، آزمون‌های بررسی حرارتی به روش افتراقی (DTA) و وزن‌سنجی حرارتی (TG) انجام شدند. آزمون‌های تعیین چگالی به روش ارشمیدس، سختی‌سنجی به روش ویکرز (با نیروی ۱۰ Kg، سرعت اعمال نیروی ۱۰N/Sec و زمان اعمال ۳۰ ثانیه)، تعیین استحکام خمشی و چقرمگی به روش سه نقطه‌ای (با فاصله‌ی تکیه‌گاهی ۵۰ میلی‌متر) بر روی نمونه‌های تف‌جوشی شده به ابعاد 55 mm^3 و $4 \times 3 \times 4$ ، و پس از صیقلی شدن سطوح بزرگ کششی و فشاری و پخ زده شدن لبه‌ها و گوشه‌های تیز آن‌ها، انجام شدند. بر روی نمونه‌های آزمون تعیین چقرمگی، یک شیار با نسبت عمق شیار به ضخامت نمونه‌ی ۰/۴۵ ایجاد شد. مطالعات ریزساختاری به کمک میکروسکپ SEM (از نوع camscan mv2300) بر روی نمونه‌های تف‌جوشی شده پس از انجام حکاکی شیمیایی (به مدت زمان ۳۰ ثانیه درون محلول ۱۰ درصد اسید HF) و پوشش‌دهی مناسب، صورت گرفت. تغییرات فازی در نمونه‌های آسیاکاری شده و یا تف‌جوشی شده به کمک روش تفرق اشعه‌ی X (با استفاده از دستگاه Philips 1500D) مطالعه شد.

جدول ۱ مشخصات و ویژگی‌های انواع پودرهای مورد استفاده به عنوان مواد اولیه

نوع پودر	اندازه‌ی متوسط ذرات (μm)	درصد خلوص	چگالی (gr/cm^3)
اکسید آلومینیم	≤ 63	۹۹	۳/۹۷
آلومینیم	≤ 315	۹۹	۲/۷

کننده، ژلی از هیدروکسیدهای آلومینیم و فلز شکل می‌گیرد. با کلسینه شدن این ژل، مخلوط همگنی از اکسید آلومینیم و اکسید فلز مورد نظر سنتز می‌شود. با احیای مخلوط دو اکسید آلومینیم و فلز در محیط هیدروژن، نانوپودر ماده‌ی مرکب آلومینا و ذرات فلزی شکل می‌گیرد [17]. در این مطالعه، خواص و فرایند ساخت سرمتهای آلومینا-آلومینیم به دو روش مختلف درجا و متالورژی پودر با نسبت‌های مختلفی از فاز فلزی و شرایط مختلف عملیات حرارتی (دما و نوع محیط) بررسی شده است. تأثیر متغیرهای فرایند ساخت سرمتهای بر ترکیب فازی، ریزساختار و خواصی مانند چگالی نسبی، استحکام، سختی و چقرمگی نیز ارزیابی شده است.

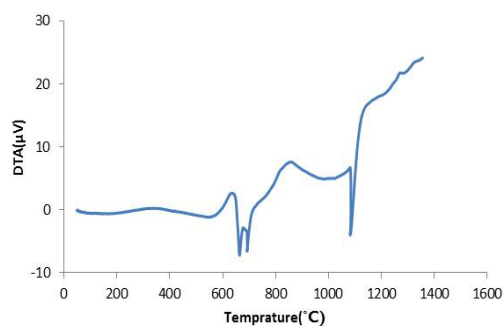
مواد و روش انجام آزمایش‌ها

مواد اولیه‌ی مورد استفاده پودر آلومینیم و پودر آلومینا بودند (جدول ۱) که در دو فرایند متالورژی پودر و اکسایش درجا استفاده شدند. مخلوط پودر آلومینیم و آلومینا در هر دو روش بعد از آسیا شدن به روش خشک، در یک آسیای از نوع فست میل (fast mill) با فشار ۱۰۰ MPa پرس شد و به این ترتیب، نمونه‌های قرص شکل به قطر ۵۰ و ارتفاع ۵ میلی‌متر به دست آمد. در روش متالورژی پودر، نمونه‌های فشرده شده با ترکیب 30%Al-Al₂O₃ ابتدا در دماهای مختلف از °C ۱۴۰۰ تا °C ۱۶۰۰ به مدت زمان ۱/۵ ساعت در محیط هوا با لایه‌های محافظی از گُک و آلومینا تف‌جوشی شدند. در مرحله‌ی بعد، نمونه‌های فشرده شده با آلومینیم و آلومینا به نسبت‌های مختلف از ۱۰ تا ۳۰ آلومینیم در دمای °C ۱۵۵۰ تف‌جوشی شدند. فرایند اکسایش درجا به دو روش مختلف انجام شد. در روش اول، عملیات تف‌جوشی بر روی نمونه‌های فشرده شده از پودر آلومینیم در دمای °C ۱۲۰۰ به مدت ۳ ساعت در محیط معمولی و بدون لایه‌ی محافظ انجام گرفت. در روش دوم، ابتدا پودر آلومینیم در دمای °C ۱۲۰۰ و در هوا به مدت زمان حداقل ۳ ساعت تاب‌کاری شد، به طوری که پودر سفید

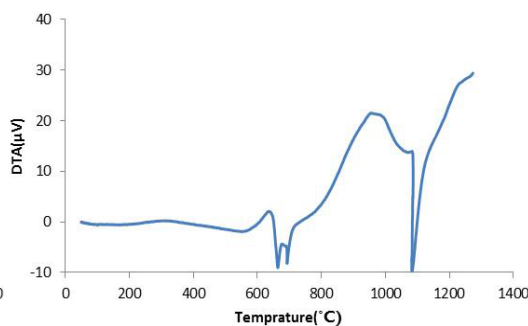
مربوط به تغییرات فازی آلومینا شدت کمتری دارد (شکل ۱-ب). می‌توان گفت که تغییرات فازی بیش‌تر مربوط به آلومینایی است که به دلیل اکسایش آلومینیم شکل می‌گیرد و آلومینای اولیه از ابتدا به شکل $\text{Al}_2\text{O}_3-\alpha$ بوده است. درصد آلومینیم کم‌تر در مخلوط پودر ماده‌ی مرکب می‌تواند دمای شروع اکسایش را به تأخیر بیاورد، به طوری که قبل از ذوب اکسایش رخ نداده و پس از ذوب هم اکسایش به جای دمای 950°C از دمای تقریبی 1100°C شروع می‌شود. افزون بر این، به دلیل درصد کم آلومینیم، پیک گرماگیر مربوط به تبلور آلومینای اکسید شده که ابتدا بی‌شکل بوده است نیز مشاهده نمی‌شود (شکل ۱-پ).

نتایج و بحث

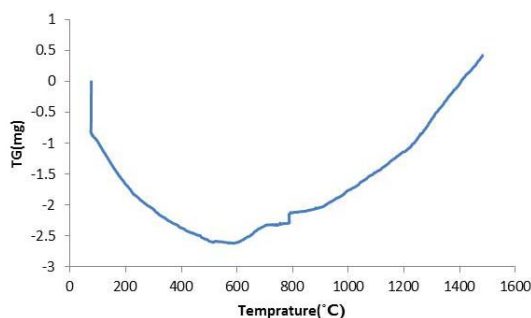
آزمون‌های DTA و TG. در شکل ۱-الف، ابتدا پیک‌های گرماگیر مربوط به ذوب آلومینیم (660°C) و در مرحله‌ی بعدی، پیک‌های گرمای مربوط به شروع اکسایش آلومینیم قبل از ذوب (580°C) و پس از ذوب آلومینیم (950°C) و در نهایت، پیک گرماگیر مربوط به تغییرات فازی از آلومینای بی‌شکل به δ و سپس به γ و در نهایت به α (1100°C) مشاهده می‌شوند. شروع اکسایش که با جذب اکسیژن محیط رخ می‌دهد، با افزایش وزن همراه است، و نمودار TG به خوبی آن را نشان می‌دهد (شکل ۱-ت). در محیط آرگون، پیک‌های اکسایش باز هم مشاهده می‌شوند (به دلیل ناخالص بودن گاز آرگون)، اما شدت آن‌ها به مراتب کم‌تر است. به همین دلیل، پیک گرماگیر



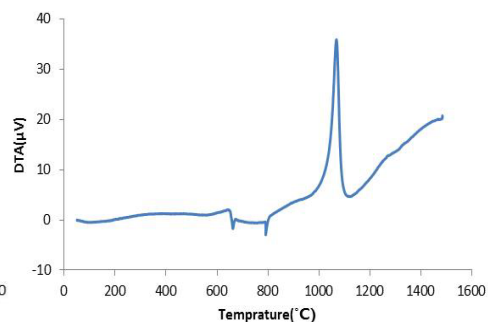
(ب)



(الف)



(ت)

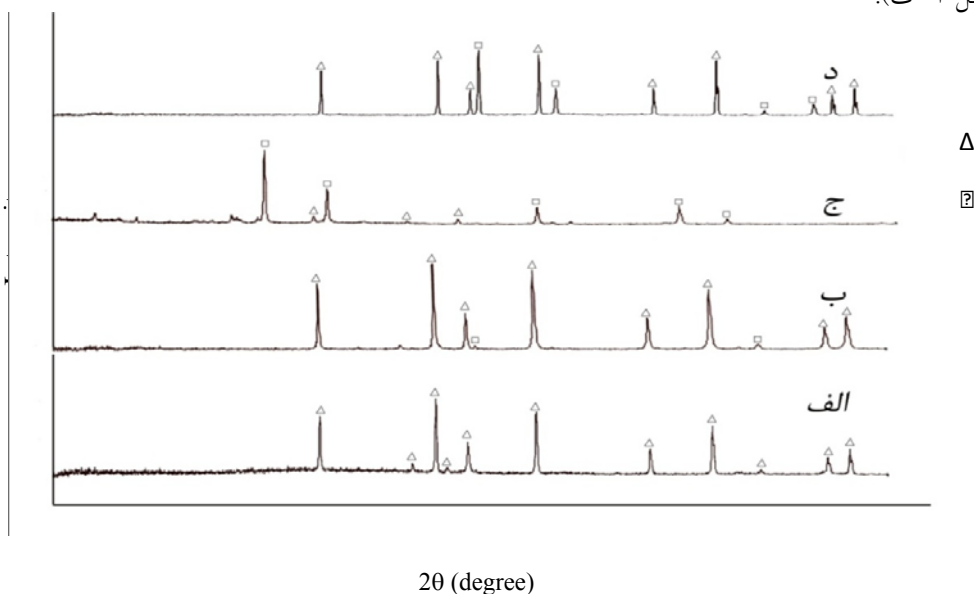


(پ)

شکل ۱ نتایج آزمون بررسی حرارتی افتراقی نمونه‌های سرمت $\text{Al}-\text{Al}_2\text{O}_3$ با توجه به محیط و درصد آلومینیم در آن؛ الف) ۳۰ درصد Al ، محیط معمولی؛ ب) ۳۰ درصد Al ، محیط آرگون؛ ج) ۱۰ درصد Al ، محیط آرگون و د) تغییرات وزنی مربوط به قسمت الف

قابلیت تفجوشی، ریزساختار و خواص مکانیکی. همان‌گونه که در جدول (۲) مشاهده می‌شود، برای نمونه‌های سرمت $30\%Al-Al_2O_3$ ساخته شده به روش متالورژی پودر، چگالی نسبی با افزایش دمای تفجوشی تا $1500^\circ C$ به میزان ۹۰ درصد افزایش می‌یابد. البته این افزایش تنها به دلیل کاهش میزان تخلخل در نمونه نیست، بلکه احتمالاً می‌تواند به دلیل اکسایش آلومینیم و تشکیل اکسید آلومینیم با چگالی بالاتر باشد [10]. با افزایش دمای تفجوشی، سختی همواره افزایش یافته است و از $2/3$ GPa در $1400^\circ C$ به $5/6$ GPa در دمای $1600^\circ C$ رسیده است. اما استحکام نمونه‌های تفجوشی شده در دماهای بالاتر از $1500^\circ C$ کاهش یافته و از 325 MPa در دمای $1500^\circ C$ به 280 MPa در دمای $1600^\circ C$ رسیده است، و این می‌تواند به دلیل افزایش اکسایش آلومینیم باشد. قابل توجه است که طیف XRD برای نمونه‌ی تفجوشی شده در دمای $1600^\circ C$ ، پیک‌های ضعیفی از آلومینیم را نشان می‌دهد (شکل ۲-ب).

آزمون XRD. با توجه به شکل (۲) که طیف XRD برای انواع نمونه‌های سرمت تهیه شده در شرایط متفاوت را نشان می‌دهد، $Al_2O_3-\alpha$ و Al فازهای نهایی برای همه‌ی آن‌ها می‌باشند. برای نمونه‌های تاب‌کاری شده و نمونه‌های متالورژی پودر $Al-Al_2O_3$ در حالت تفجوشی شده بدون لایه‌ی محافظ، پیک‌ها تقریباً مربوط به آلومینا بوده و پیک‌های آلومینیم بسیار ضعیف هستند (شکل ۲-الف). با این حال، برای لایه‌ی سطحی نمونه‌های درجا و نمونه‌ی متالورژی پودر $Al-Al_2O_3$ با لایه‌ی محافظ، پیک‌های آلومینیم نسبتاً ضعیف می‌باشند (شکل ۲-ب). لایه‌ی مغزی در نمونه‌های درجا از آلومینیم غنی بوده و طیف XRD پیک‌های نسبتاً ضعیف Al_2O_3 را نشان می‌دهد (شکل ۲-پ). برای محیط آرگون، پیک‌های کمی قوی‌تر نسبت به حالت وجود لایه‌ی محافظ مشاهده می‌شود، و این دلیلی بر عدم اکسایش یا اکسایش ضعیف‌تر آلومینیم می‌باشد (شکل ۲-ت).



شکل ۲ الگوی تفرق اشعه‌ی X برای نمونه‌های سرمت $30\%Al-Al_2O_3$ تهیه شده با فرایندهای مختلف؛ الف) نمونه‌های تاب‌کاری شده و نمونه‌های متالورژی پودر $Al-Al_2O_3$ بدون لایه‌ی محافظ، ب) لایه‌ی سطحی در نمونه‌های درجا و نمونه‌های متالورژی پودر $Al-Al_2O_3$ با لایه‌ی محافظ، پ) لایه‌ی مغزی در نمونه‌های درجا، و ت) نمونه‌های متالورژی پودر $Al-Al_2O_3$ تفجوشی شده در محیط آرگون

حالت اکسایش درجا، یک ماده‌ی مرکب لایه‌ای به دلیل شکل‌گیری لایه‌ی سطحی از سرمته $Al-Al_2O_3$ بر روی هسته‌ای از آلومینیم، حاصل شده است، [13]، به طوری که هسته چکش‌خوار و لایه‌ی سطحی مقاوم به سایش است. از طرفی، به دلیل انجام این فرآیند در دمای پایین‌تر ولی در مدت زمان نسبتاً طولانی‌تر، فرآیند ارزان‌تر خواهد بود. این ماده‌ی مرکب که شیب‌دار (FGM) خواهد بود، دارای چقرمگی تا $7/5 \text{ MPa.m}^{1/2}$ و استحکام 340 MPa می‌باشد (جدول ۳) که در مقایسه با نمونه‌های متالورژی پودر، بالاترین خواص مکانیکی را دارد.

برای سرمته‌های ساخته شده از پودر تاب‌کاری شده، نمونه‌ها کاملاً ریزترک‌دار (شکل ۴) و ترد می‌باشند، به طوری که از اندازه‌گیری خواص آن‌ها صرف‌نظر شده است. در واقع، در روش تاب‌کاری و به دلیل ایجاد ذرات درشت اکسید آلومینیم از ذرات نسبتاً درشت آلومینیم، تراکم‌پذیری در فرآیند پرس‌کاری پایین‌تر است. به همین دلیل، منافذ بیش‌تری برای نفوذ اکسیژن وجود خواهند داشت، به گونه‌ای که میزان بالاتری از آلومینیم در فرآیند پخت اکسید می‌شود. از طرف دیگر، به دلیل درشت‌تر بودن ذرات آلومینا، قابلیت تف‌جوشی آن نیز پایین‌تر است.

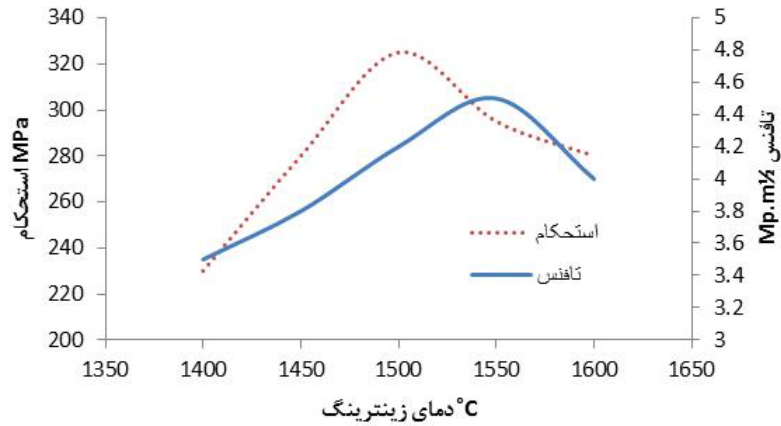
نتایج بررسی‌های EDX برای نقطه‌های نشان داده در شکل‌های (۴-الف) و (۵) و جدول (۴) نشان می‌دهند که نقطه‌های ۱ و ۲ مربوط به فاز آلومینیم هستند، و نتیجه‌ی مربوط به نقطه‌ی ۴ دقیقاً با اکسید آلومینیم مطابقت دارد. نقطه‌ی ۳ نیز می‌تواند تداخلی از آلومینیم در فاز اکسید آلومینیم باشد و این، نتایج XRD را تأیید می‌کند.

در حقیقت، به دلیل بالاتر بودن حجم مولی اکسید یک فلز نسبت به حجم مولی آن، اکسایش آلومینیم می‌تواند همراه با افزایش تعداد ریزترک‌ها باشد [9]. به این ترتیب، چگالی نسبی و استحکام نمونه‌های تف‌جوشی شده در دماهای بالاتر از 1500°C نیز کاهش می‌یابند. افزون بر این، درشت شدن ریزساختار نیز می‌تواند نقش مهمی در کاهش استحکام داشته باشد، اما چقرمگی روند افزایشی خود را تا دمای 1550°C ادامه داده و به میزان $4/5 \text{ MPa.m}^{1/2}$ می‌رسد، و این می‌تواند به دلیل حساسیت کم‌تر آن به عیوب باشد (شکل ۳). کاهش چقرمگی در دمای تف‌جوشی 1600°C می‌تواند به دلیل افزایش قابل توجه ریزترک‌ها باشد، به گونه‌ای که با پیوستن آن‌ها به یکدیگر، ترک‌های بزرگ‌تری تشکیل شده و رشد ترک شتاب می‌گیرد [12].

جدول ۲ خواص فیزیکی و مکانیکی نمونه‌های سرمته $30\%Al-Al_2O_3$ تف‌جوشی شده در دماهای مختلف در محیط معمولی با بستر محافظ

نمونه	چگالی نسبی (%)	سختی (GPa)	استحکام (MPa)	چقرمگی ($\text{MPa.m}^{1/2}$)
۱۴۰۰	۸۳	۲/۳	۲۳۰	۳/۵
۱۴۵۰	۸۷	۲/۷	۲۸۰	۳/۸
۱۵۰۰	۹۰	۳	۳۲۵	۴/۲
۱۵۵۰	۸۸	۴/۵	۲۹۵	۴/۵
۱۶۰۰	۸۴	۵/۶	۲۸۰	۴

با مقایسه‌ی خواص مکانیکی به‌دست آمده برای سرمته‌های ساخته شده به روش‌های اکسایش درجا و تف‌جوشی شده در 1200°C و نیز، متالورژی پودر در دمای 1550°C (جدول ۳)، بالاترین استحکام در روش اکسایش درجا حاصل شده است. در حقیقت، در

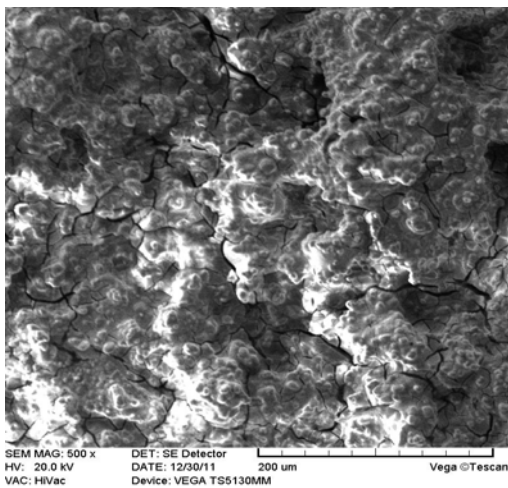


شکل ۳ تغییرات چقرمگی و استحکام سرمت 30%Al-Al₂O₃ بر حسب دمای تفجوشی

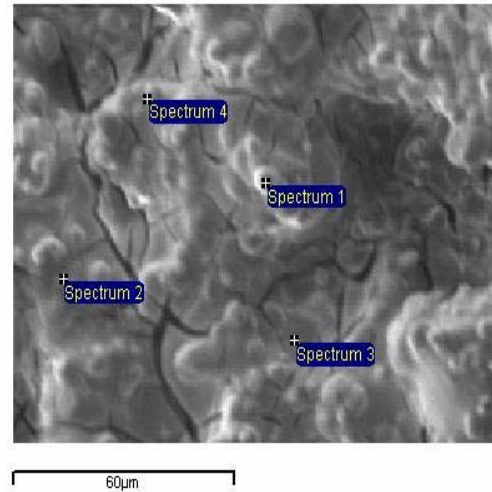
جدول ۳ خواص فیزیکی و مکانیکی نمونه‌های سرمت تفجوشی شده در دمای ۱۵۵۰ °C در محیط معمولی با بستر محافظ برای نمونه‌های

متالورژی پودر و اکسایش درجا

چقرمگی (MPa.m ^{1/2})	استحکام (MPa)	سختی (GPa)	چگالی نسبی (%)	نمونه
۷/۵	۳۴۰	۶/۵	۹۵	اکسایش درجا
۲/۵	۲۱۰	۸/۶	۸۲	متالورژی پودر
۳/۶	۲۵۵	۵/۷۸	۸۶	۱۰٪ آلومینیم
۴/۲	۲۳۰	۴/۵	۹۰	۲۰٪ آلومینیم
				۳۰٪ آلومینیم



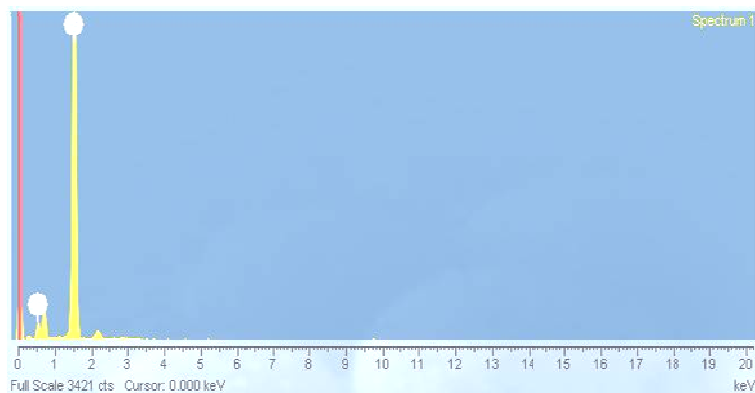
ب



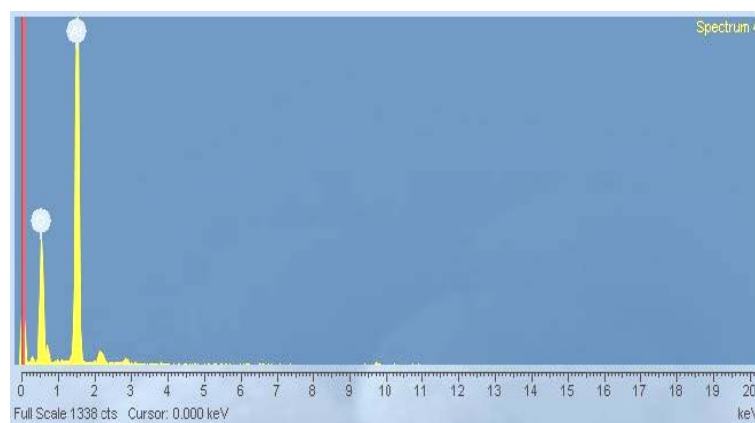
الف

شکل ۴ تصویرهای SEM مربوط به نمونه‌ی تفجوشی شده به روش تابکاری؛ الف) با بزرگ‌نمایی ۲۰۰۰ برابر، ب) با بزرگ‌نمایی

برابر ۵۰۰



الف



ب

شکل ۵ طیف مربوط به آزمون EDX برای دو نقطه‌ی مشخص شده؛ الف) طیف ۱ در محدوده فازی آلومینیم، و ب) طیف ۴ در محدوده فازی آلومینا بر روی تصویر میکروسکوپی شکل ۵-الف

جدول ۴ نتایج آزمون EDX مربوط به نقطه‌های مشخص شده در شکل ۵-الف

موقعیت	درصد Al	درصد O
۱	۸۹/۳۱	۱۰/۶۹
۲	۹۷/۳۹	۲/۶۱
۳	۶۱/۲۲	۳۸/۷۸
۴	۴۶/۵۹	۵۳/۴۱

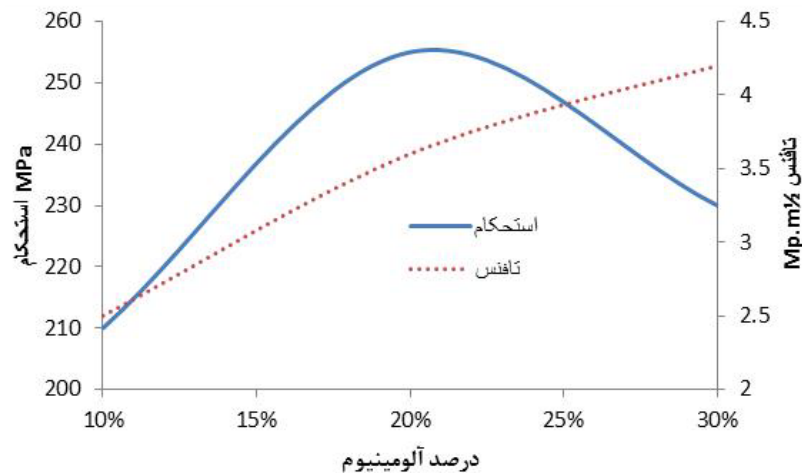
استحکام نمونه‌های سرمت با افزایش درصد آلومینیم تا ۲۰ درصد افزایش می‌یابد، و در بالاتر از آن کاهش می‌یابد (شکل ۶) که دلیل آن می‌تواند وجود اختلاف در ضریب انبساط حرارتی و مدول کش‌سان آلومینیم و آلومینا باشد. در میزان‌های بالای آلومینیم، تنش‌های

همان‌طور که در جدول (۳) مشاهده می‌شود، با افزایش درصد آلومینیم، تراکم‌پذیری برای نمونه‌های سرمت تولیدی به‌روش متالورژی پودر همواره افزایش یافته است، و این می‌تواند به‌دلیل پر شدن حفره‌ها توسط مذاب آلومینیم در دمای تف‌جوشی باشد.

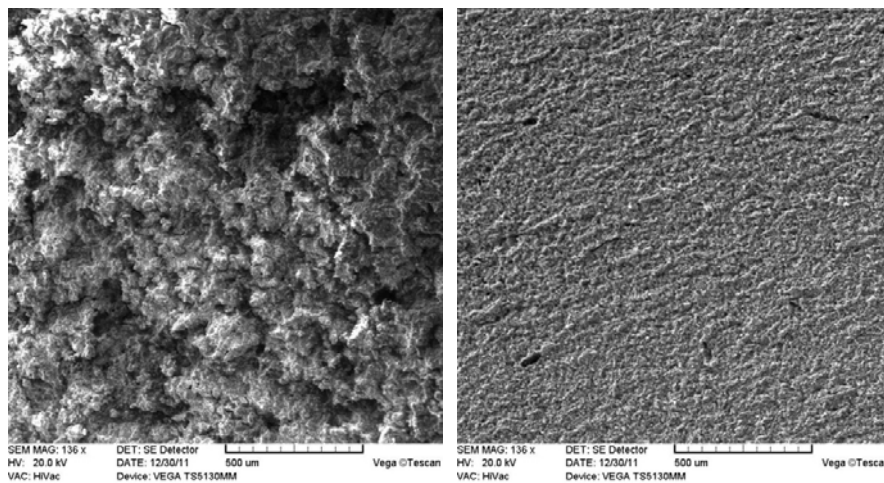
محافظ و محیط آرگون (شکل ۷-الف و ب)، مشاهده می‌شود که تف‌جوشی در سرمت $Al-Al_2O_3$ در محیط آرگون، به دلیل اکسایش کم‌تر فاز آلومینیم، بهتر انجام می‌شود و به این ترتیب، ریزساختار فشرده‌تری حاصل می‌شود (شکل ۷-الف). این در حالی است که در محیط به‌کار رفته با لایه‌ی محافظ، به دلیل نفوذ اکسیژن و اکسایش آلومینیم، تف‌جوشی به‌خوبی انجام نشده و در نتیجه، ریزساختار نسبتاً متخلخلی به‌دست آمده است (شکل ۷-ب).

پس‌ماند انقباضی ایجاد شده حین سرد شدن از دمای تف‌جوشی باعث ایجاد ریزترک‌ها در نمونه‌ی سرمت می‌شوند، اما سختی نمونه‌های سرمت با افزایش درصد آلومینیم همواره کاهش می‌یابد. دلیل این کاهش، افزایش درصد فاز فلزی می‌باشد. به دلیل افزایش فاز چکش‌خوار فلزی، چقرمگی روند افزایشی خود را تا ۳۰ درصد آلومینیم حفظ می‌کند (شکل ۶).

با مقایسه‌ی تصویرهای SEM مربوط به نمونه‌ی سرمت تف‌جوشی شده در محیط معمولی با لایه‌ی



شکل ۶ تغییرات استحکام و چقرمگی $Al-Al_2O_3$ تف‌جوشی شده در دمای $1550^\circ C$ به‌عنوان تابعی از درصد فاز فلزی



ب

الف

شکل ۷ تأثیر نوع محیط بر روی ریزساختار سرمت $Al-Al_2O_3$ (۳۰٪؛ الف) محیط آرگون، و ب) محیط معمولی با لایه‌ی محافظ

نتیجه گیری

خواص مکانیکی را داشته است (استحکام

۳۴۰ MPa و چقرمگی $۷/۵ \text{ MPa}\cdot\text{m}^{1/2}$).

۴- چگالی نسبی و استحکام سرمته $30\% \text{Al-Al}_2\text{O}_3$

تهیه شده به روش متالورژی پودر با افزایش دما تا

1500°C به ترتیب تا ۹۰ درصد و 325 MPa

افزایش یافتند، ولی در دمای بالاتر از آن، کاهش

یافتند. با این حال، افزایش چقرمگی تا دمای

1550°C ($4/5 \text{ MPa}$) و افزایش سختی تا دمای

1600°C ($5/6 \text{ GPa}$) ادامه یافت.

۵- برای نمونه‌های متالورژی پودر تفجوشی شده در

دمای 1550°C ، با افزایش درصد فاز فلزی تا ۲۰

درصد، استحکام به میزان $21/4$ درصد افزایش

یافت. اما این افزایش تا ۳۰ درصد، چقرمگی را

به میزان ۶۸ درصد و چگالی نسبی را تا ۹۰ درصد

افزایش و سختی را به میزان حدود ۴۷ درصد

کاهش داد.

۱- نتایج آزمون DTA در باره‌ی سرمته $30\% \text{Al-Al}_2\text{O}_3$

Al₂O₃ نشان دادند که از دمای 500°C به بالا،

پیک‌های گرمازای مربوط به اکسایش ظاهر

می‌شوند، اما در دمای 1100°C ، پیک گرماگیر

مربوط به تبلور اکسید آلومینیم بی‌شکل که با

اکسایش آلومینیم تشکیل شده است، دیده می‌شود.

۲- نتایج آزمون XRD نشان دادند که پیک‌های مربوط

به فاز فلزی آلومینیم برای نمونه‌های تفجوشی

شده با استفاده از لایه‌ی محافظ، کمی ضعیف‌تر

پیک‌های مربوط به محیط آرگون می‌باشند.

بنابراین، آرگون می‌تواند جایگزینی برای محیط

خنثی که محیطی ارزان‌تر است، باشد.

۳- در روش درجا، یک ماده‌ی مرکب لایه‌ای شکل

می‌گیرد، به طوری که لایه‌ی سطحی مقاوم به

سایش متشکل از آلومینا و لایه‌ی مغزی

چکش‌خوار از جنس آلومینیم می‌باشد. این ماده در

مقایسه با نمونه‌های متالورژی پودر، بهترین

مراجع

1. Katarzyna, K., Michal C. M. and Krzysztof J.K.C., "Studies of the effect of metal particles on the fracture toughness of ceramic matrix composites", *Materials Characterization*, Vol. 51, pp.335–340, (2003)
2. Guichard, J.L., Tillement, O. and Mocellin, A., "Alumina-Chromium Cermets by Hot-Pressing of Nanocomposite Powders", *Journal of the European Ceramic Society*, Vol. 18, pp. 1743- 1752, (1998)
3. Xiaochun, Z., Guoxiong, S. and Shuge, Z., "Combustion synthesis of $\text{Al}_2\text{O}_3(-\text{Cr}_2\text{O}_3)-\text{Cr}$ cermets", *Scripta mater*, Vol. 42, pp. 1167–1172, (2000)
4. Guichard, J.L., Mocellin, A., Simonnot, M.O., Remy, J.F. and Sardin, M., "Surface of mechanosynthesized $\text{Al}_2\text{O}_3-\text{Cr}$ nanocomposite powders", *Powder Technology*, Vol. 99, pp.257-263, (1998)
5. Witold, W., Michał, B., Marcin, C. and Katarzyna, P., "Modeling of thermally induced damage in the processing of $\text{Cr}-\text{Al}_2\text{O}_3$ composites", *Composites, Part B*, (2011)

6. Chmielewski, M. and Pietrzak, K., "Processing, microstructure and mechanical properties of Al_2O_3 -Cr nano-composites", *Journal of the European Ceramic Society*, Vol. 27, pp .1273–1279, (2007)
7. Ji, Y. and Yeomans, J.A., "Processing and mechanical properties of Al_2O_3 -5 Vol.% Cr nanocomposites", *Journal of the European Ceramic Society*, Vol. 22, pp.1927–1936, (2002)
8. Chang, C., Jianfeng, Y., Congyang, C., GuanJun, Q. and Chonggao, B., "Porous nano- $\text{Al}_2\text{O}_3/\text{Fe-Cr-Ni}$ composites fabricated by pressureless reactive sintering", *Materials Chemistry and Physics*, (2011)
9. Dickon, H.L.N., Qing, Z., Caidong Q., Man, w. H. and Yanrou, H., "Formation of aluminum/alumina ceramic matrix composite by oxidizing an Al-Si-Mg alloy", *Journal of the European Ceramic Society*, Vol. 21, pp.1049-1053, (2001)
10. Chang, G. H., Yeon, G. and Jung, U. P., "Effect of microstructure on fracture behavior of Al_2O_3 /Al composite by reactive metal penetration", *Journal of Alloys and Compounds*, Vol. 30 , pp.292–299, (2000)
11. Konopka, K. and Szafran M., "Fabrication of Al_2O_3 -Al composites by infiltration method and their characteristic ", *Journal of Materials Processing Technology*, Vol. 175, pp.266–270, (2006)
12. Nagendra N., Rao, B.S. and Jayaram V, "Microstructures and properties of $\text{Al}_2\text{O}_3/\text{Al-AlN}$ composites by pressureless infiltration of Al-alloys", *Materials Science and Engineering*, Vol. A269, pp.26–37, (1999)
13. Zhijian, Y., Shunyan T., Xiaming, Z. and Chuanxian, D., " Microstructure and mechanical properties of Al_2O_3 -Al composite coating deposited by plasma spraying", *Applied Surface Science* , Vol. 25, pp.1636-1643, (2008)
14. Sangghaleh, A. and Halali, M., "Effect of magnesium addition on the wetting of alumina by aluminum", *Applied Surface Science*, Vol. 255, pp.8202–8206, (2009)
15. Sangghaleh, A. and Halali, M., "An investigation on the wetting of polycrystalline alumina by aluminum", *Journal of materials processing technology*, Vol. 197, pp.156–160, (2008)
16. Schicker,S., Erny, T., Garcia, D. E., Janssen, R. and Claussen, N., "Microstructure and Mechanical Properties of Al-assisted Sintered $\text{Fe}/\text{Al}_2\text{O}_3$ Cermets", *Journal of the European Ceramic Society*, Vol. 19, pp.2455-2463, (1999)
17. Devaux X., "Nanocomposites a matrice ceramique: system alumina-metaux de transition (fer, chrome) et alumina-alliages (fer-chrome) ", PhD. Thesis, universite paul Sabatier, Toulouse, France, (1991)
18. Mas-Guindal, M.J., Benko E. and Rodriguez, M.A., "Nano-structured metastable cermets of Ti- Al_2O_3 through activated SHS reaction", *Journal of Alloys and Compounds*, Vol. 454, pp.352–358, (2008)

19. Guo-Jun, L., Xiao-Xian, H. and Jing-Kun G., "Fabrication, microstructure and mechanical properties of Al₂O₃/Ni nanocomposites by a chemical method", *Materials Research Bulletin*, Vol. 38, pp.1591–1600, (2003)
 20. Konopka, K. Bucki, J.J., Gierlotka S., Zielinski, W. and K.J. Kurzyydowski, "Characterization of the metal particles fraction in ceramic matrix composites fabricated under high pressure", *Materials Characterization*, Vol. 56, pp..394–398, (2006)
 21. Tuan, W.H. and Brook, R.J., "The toughening of alumina with nickel inclusion", *J. Eur. Cera. Soc.*, Vol. 6, pp. 31-37, (1990)
 22. Tuan, W.H., Wu, H.H. and Yang, T.J., "The preparation of Al₂O₃/Ni composites by a powder coating technique", *J. Mat. Sci.*, Vol. 30, pp. 855-859, (1990)
 23. Berghaus, A., Djahanbakhsh, A. and Thomas, L.K., "Characterisation of CVD-tungsten-alumina cermets for high-temperature selective absorbers", *Solar Energy Materials and Solar Cells*, Vol. 54, pp.19-26, (1998)
 24. Bhattacharya, P. and Chattopadhyay, K , "Nano Al₂O₃-Pb and SiO₂-Pb cermets by SOL-GEL technique and the phase transformation study of embedded Pb particles", *Nano-Structured Materials*, Vol. 12, pp.1077-1080, (1999)
 25. Xianhui W., Shuhua L., Ping Y. and Zikang, F., "Effect of Al₂O₃ Content on Electrical Breakdown Properties of Al₂O₃/Cu Composite", *JMEPEG*, Vol. 19, pp.1330–1336, (2010)
-